

研究简报

照射后 HeLa 细胞对 CDDP 诱导的 DNA 交联产生抗性

黄建鸣 董玉宁 于 曜

(四川省肿瘤研究所, 成都 610041)

摘要 应用 EB 荧光分析法测定了人宫颈癌上皮细胞系 (HeLa line) 经单次⁶⁰Co 照射后顺铂 (CDDP) 诱导的 DNA 链内交联反应 (ct%). 经研究发现, 1~6 Gy 照射后, 细胞相对生长分数 (fraction of control growth, FCG) 减小, 单位细胞 DNA 含量增高, HeLa 细胞与 CDDP 的交联反应明显降低, 且与照射剂量呈依赖关系. 结果提示, γ 射线照射后存活的肿瘤细胞可能对 CDDP 或烷化剂的化学治疗作用产生抗性.

关键词 HeLa 细胞系, DNA 交联反应, 顺铂, EB 荧光分析法, 抗性

学科分类号 Q691

许多细胞抑制剂可与细胞 DNA 作用导致细胞复制的 DNA 模板失活, 细胞 DNA 链内交联的形成是抑制肿瘤细胞再增殖能力的有效方法之一, 研究证明, 细胞 DNA 交联剂氯氨顺铂 (CDDP) 可增加肿瘤细胞的放射敏感性^[1,2]和照射可使肿瘤的细胞周期阻滞于 G2 期^[3]. 因此, 作者应用 EB 荧光分析法^[4]检测经⁶⁰Co 照射后人宫颈癌上皮细胞系 (HeLa line) 对 CDDP 诱导 DNA 链内交联形成的反应.

1 材料和方法

1.1 药品及细胞培养

溴化乙锭 (EB), Fluka 产品; 氯氨顺铂 (CDDP), HeLa 细胞常规培养于含 10% 新生小牛血清 (newborn cow serum, NCS) 的 RPMI-1640 培养液中.

1.2 照射方法

照射源为⁶⁰Co, 将对数生长期 HeLa 细胞制成单细胞悬液, 1×10^6 接种于培养瓶内立即进行照射. 照射条件: 源皮距 80 cm, 照射

面积 $10 \text{ cm} \times 10 \text{ cm}$, 剂量率为 0.8 Gy/min, 室温下照射, 照射剂量分别是 0、1、2、3、4、5、6 Gy.

1.3 细胞的增殖测定

按文献 [5] 的方法, 细胞经照射后继续培养 48 h, 用胰酶: EDTA (0.25% : 0.02%) 消化, 收集细胞, 用 0.1% 伊文思蓝计活细胞数. 按下式计算细胞 FCG (fraction of control growth):

$$\text{FCG} = \frac{\lg \frac{N_C}{N_0}}{\lg \frac{N_R}{N_0}}$$

式中 N_0 为接种细胞数, N_C 和 N_R 分别为对照和照射后培养 48 h 的活细胞数.

1.4 细胞 DNA 含量测定

细胞经照射后继续培养 48 h, 用胰酶: EDTA (0.25% : 0.02%) 消化, 收集细胞, 用密度梯度离心法去除死细胞, 收集活细胞,

用 0.1% 伊文思蓝计活细胞数不低于 95%，按文献 [4] 的方法测定 DNA 含量。

1.5 细胞 DNA 链内交联反应的测定

采用文献 [4] 的肿瘤细胞 DNA 交联反应 EB 荧光分析法，细胞悬于含 100 mmol/L CDDP 和 10% NCS 的 RPMI-1640 培养液，37℃，5% CO₂ 反应 4 h；收集细胞，用 PBS 离心洗 2 次，取细胞悬液 40 μl (3×10^5 细胞)，于 200 μl 细胞溶解液中，37℃水溶 16 h，加 25 μl 肝素 (500 IU/ml)，继续水溶 20 min 后加入 EB 液，混匀后于 100℃水浴变性 5 min 后，立即用流水冷却至室温，用 RF-5000 型荧光分光光度计 (日本岛津) 于 $E_x = 525$ nm, $E_m = 600$ nm 波长分别测定变性和未变性 DNA 的荧光，并按下式计算 DNA 交联反应 ($ct\%$) 和每分子 DNA 的平均交联数 (n)：

$$ct\% = \frac{\text{变性DNA荧光} - \text{空白荧光}}{\text{未变性DNA荧光} - \text{空白荧光}} \times 100\%$$

$$n = -\ln X$$

式中 X 为未交联 DNA 的百分比值。

2 结 果

2.1 照射与细胞 FCG 的关系

图 1 显示 HeLa 细胞经 ⁶⁰Co 照射后培养 48 h 的 FCG 曲线，照射各剂量组细胞的 FCG 随照射剂量的递增而减小，表明 HeLa 细胞对 ⁶⁰Co-γ 射线的生长抑制作用与照射剂量呈依赖关系。

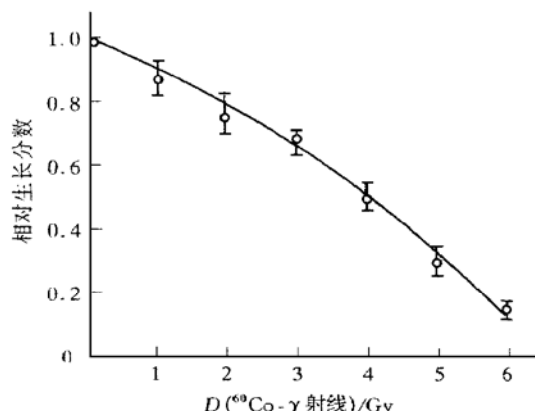


图 1 照射剂量与细胞 FCG 的关系

2.2 照射对细胞 DNA 含量的影响

图 2 显示 HeLa 细胞经 ⁶⁰Co 照射后继续培养 48 h，照射各剂量组的单位细胞 DNA 含量均较同期培养 48 h 的对照组明显增高，其中 2 Gy 和 6 Gy 照射组分别较对照组高 1.1 倍和 1.5 倍，且与照射剂量呈正相关，说明照射使细胞的有丝分裂受到抑制而阻滞于 G2 期。

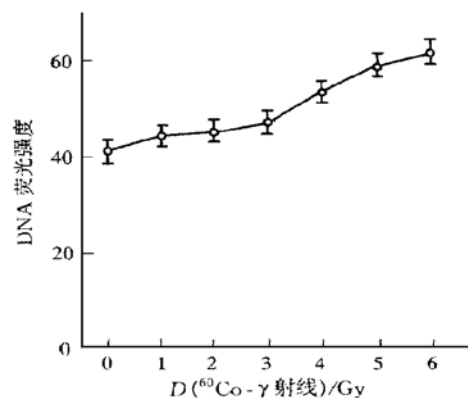


图 2 照射剂量与细胞 DNA 含量的变化

2.3 照射对细胞 DNA 链内交联反应的影响

图 3 显示 HeLa 细胞经 ⁶⁰Co 照射后培养 48 h 的细胞按材料与方法中 1.5 进行，DNA

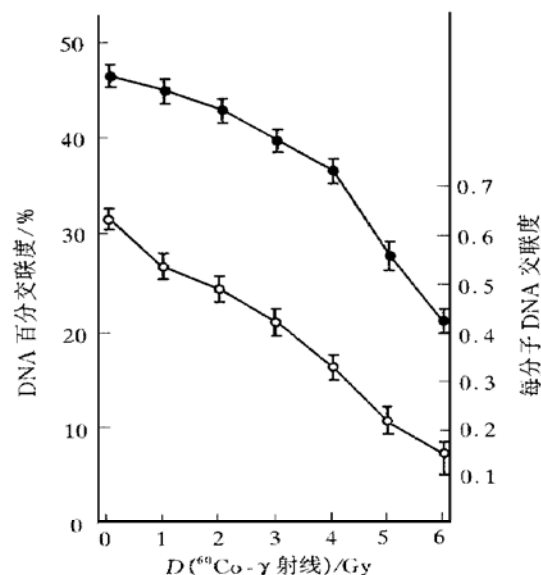


图 3 照射对 HeLa 细胞 DNA 交联反应的影响

●—●: DNA 百分交联度；○—○: 每分子 DNA 交联度。

交联测定结果显示单位细胞 DNA 链内交联反应均较同期培养 48 h 的对照组明显降低，其中 2 Gy 和 6 Gy 照射组分别较对照组下降 16.8% 和 70%，且与照射剂量呈负相关。

3 讨 论

肿瘤细胞在射线的作用下，细胞的代谢和增殖周期会发生改变。照射对细胞周期的影响主要引起 G2 期阻滞^[3,6]；同时照射可诱导细胞 DNA 修复酶系统的活性^[7~9]。CDDP 诱导细胞 DNA 链内交联的形成是由 DNA 的 O⁶-鸟嘌呤烷基化，形成 DNA-O⁶-甲基鸟嘌呤(O⁶-mG) 介导的^[10~12]。本实验发现照射后 HeLa 细胞的增殖受到抑制，细胞阻滞于 G2 期和 DNA 含量增高，且与照射剂量呈正相关(图 1 和图 2)；照射后的 HeLa 细胞对 CDDP 诱导的 DNA 链内交联的形成减少，且与照射剂量呈负相关(图 3)。结果提示，经 γ 射线照射后存活的肿瘤细胞对 CDDP 诱导的 DNA 链内交联形成减少或产生抗性。这种现象是否因射线诱导细胞 O⁶-mG 甲基转移酶的活性增加，通过以 CDDP 交联 DNA 为底物转甲基作用修复 O⁶-mG 的机理抑或是通过对 O⁶-mG 的切除修复作用，有待进一步研究证实。

参 考 文 献

- 1 Senan S. The interaction of cisplatin and radiotherapy. Clin Oncol R Cell Radiol, 1993, 5 (3): 191~192
- 2 Schilsky R L. Biochemioal pharmacology of chemotherapeutic drugs used as radiation enhancers. Semin Oncol, 1992, 19 (4): 2~7
- 3 Cao S. Growth Kinetics of Bp8 mouse ascites sarcoma after single doses of body irradiation II. Analysis of the progression of cells through cell cycle. Acta Radiol Oncol, 1982, 21 (6): 331~335
- 4 黄建鸣，董玉宁，许 峰等. EB 荧光分析法测定肿瘤细胞 DNA 交联及增殖活性. 生物化学及生物物理进展, 1996, 23 (1): 70~73
- 5 Zwelling L A, Michaels S, Schwartz H et al. DNA cross-linking as an indicator of sensitivity and resistances of mouse L1210 leukemia to *cis*-DDP and L-phenylalaninemustard. Cancer Res, 1981, 41 (2): 640~649
- 6 胡长坤，曹世龙. FCM 在照射后 CNE 细胞周期进程测定中的应用. 中华放射肿瘤学杂志, 1993, 2 (1): 38~40
- 7 Chan C L, Wu Z, Eastman A et al. Irradiation induced expression of O⁶-methylguanine DNA methyltransferase in mammalian cells. Cancer Res, 1992, 52 (7): 1804~1809
- 8 Lefebvre P, Laval F. Enhancement of O⁶-methylguanine DNA-methyltransferase activity induced by various treatment in mammalian cells. Cancer Res, 1986, 46 (11): 5701~5705
- 9 Wilson R F, Hoyes K P, Morris I D et al. *In vivo* induction of O⁶-alkylguanine DNA alkyltransferase in response to indium-114. Radiat Res, 1994, 138 (1): 26~33
- 10 Laurent G, Erikson L C, Sharkey N A et al. DNA cross-linking and cytotoxicity induced by *cis*-DDP in human normal and tumor cell lines. Cancer Res, 1981, 41 (9): 3347~3351
- 11 Erikson L C, Bradley M O, Ducore J M et al. DNA cross-linking and cytotoxicity in normal and transformed human cells treated with antitumor nitrosoureas. Proc Natl Acad Sci USA, 1980, 77 (1): 467~471
- 12 Erickson L C, Laurent G, Sharkey N A et al. DNA cross-linking and monadduct repair in nitrosourea-treated human tumor cells. Nature (London), 1980, 288 (5786): 727~729

Resistance of HeLa Line Irradiated with ⁶⁰Co γ-Ray to the Interstrand DNA Cross-link Induced by Diamminedichloroplatinum.

HUANG Jian-ming, DONG Yu-ning, YU Xi
(Sichuan Cancer Institute, Chengdu 610041, China).

Abstract The detection of DNA cross-link induced by diamminedichloroplatinum (CDDP) in HeLa line irradiated with ⁶⁰Co γ-ray was carried out using ethidium bromide fluorescence assay. The results showed that after single doses (1~6 Gy) of irradiation, the fraction of control growth of HeLa cells declined and the DNA content per unit cell of HeLa line increased, and the formation of interstrand DNA cross-link induced by CDDP reduced apparently with increments of dose of irradiation. The findings suggest that tumor cells surviving γ-irradiation may become resistant to chemotherapy with alkylating agents such as CDDP.

Key words HeLa line, DNA cross-link, resistance, EB-fluorescence assay